

Санкт-Петербургский политехнический университет Петра Великого  
Институт машиностроения, материалов и транспорта  
Высшая школа автоматизации и робототехники

# Отчёт

по лабораторной работе №3

Дисциплина: Техническое зрение

Тема: Применение преобразования Фурье для обработки изображений

Студент гр. 3331506/70401

Шкабара Я. А.

Преподаватель

Варлашин В. В.

«    » \_\_\_\_\_ 2020 г.

Санкт-Петербург

2020

## Оглавление

Задачи .....	3
1. Преобразование Фурье .....	3
2. Фильтр Гаусса низких и высоких частот .....	5
3. Свертка изображения с ядром фильтра.....	6
4. Корреляция изображений .....	8

## Задачи

1. Релизовать прямое и обратное преобразования Фурье;
2. Реализовать фильтр Гаусса для высоких и низких частот;
3. Произвести свёртку изображения с ядром фильтров: Собеля (по горизонтали и вертикали), усредняющего, Лапласа
4. Провести корреляцию (сравнение) изображений автомобильных номеров по очереди с 3-мя символами.

### 1. Преобразование Фурье

Прямое дискретное преобразование Фурье имеет вид:

$$F(u, v) = \sum_{x=0}^{M-1} \sum_{y=0}^{N-1} f(x, y) e^{-i2\pi(\frac{ux}{M} + \frac{vy}{N})}, \quad (1)$$

где  $f(x, y)$  – цифровое изображение размерами  $M \times N$ ;  $u = 0, 1, 2 \dots, M - 1$ ;  $v = 0, 1, 2 \dots, N - 1$ .

Прямое преобразование реализовано функцией *dDFT*, принимающей входное изображение в формате CV\_32FC1. После преобразования результат записывается в изображение типа CV\_32FC2.

Обратное дискретное преобразование Фурье имеет вид:

$$f(x, y) = \frac{1}{M \cdot N} \sum_{u=0}^{M-1} \sum_{v=0}^{N-1} F(u, v) e^{i2\pi(\frac{ux}{M} + \frac{vy}{N})}, \quad (2)$$

где  $x = 0, 1, 2 \dots, M - 1$ ;  $y = 0, 1, 2 \dots, N - 1$ .

Обратное преобразование реализовано функцией *iDFT*, принимающей входное изображение в формате CV\_32FC2. После преобразования результат записывается в изображение типа CV\_32FC1.

На рисунке 1 представлен результат работы функций  $dDFT$  и  $iDFT$ , на примере преобразования изображения 200x248 пикселей (Перед обработкой размер изображения приведен к оптимальному с помощью функции  $goToOptimalSize$ ).

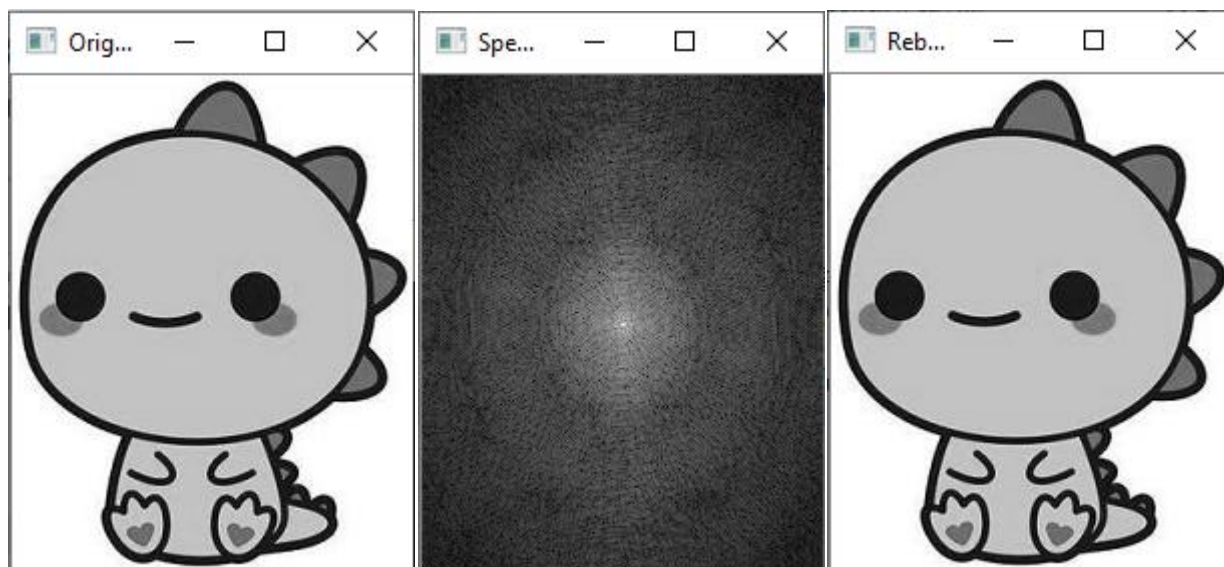


Рисунок 1 – Результат работы функций и спектр изображения

В таблице 1 представлено сравнение работы написанных функций с встроенной функцией `opencv`.

Таблица 1 – Результаты сравнения

	dDFT	dDFT(opencv)	iDFT	iDFT(opencv)
Время работы, мс	50143	0.54	47764	0.31
Средне-квадратическое отклонение	Re	Im	2.87e-5	
	0.036	0.00054		

\*Для изображения, полученного обратным преобразованием, среднеквадратическое отклонение высчитывалось после нормализации.

Время работы функций определялось с помощью библиотеки `chrono`.

Для получения спектра и фазы используется функция `getSpectreAndPhase`, использующая вещественную и мнимую части образа Фурье, и записывающая результат в вектор изображений (0 элемент – спектр, 1 – фаза). Для вывода

спектра и фазы используются функции *showSpectre* и *showPhase* соответственно, принимающие ранее полученный вектор в качестве аргумента.

## 2. Фильтр Гаусса низких и высоких частот

Передаточные функции фильтра низких частот (ФНЧ) и фильтра высоких частот (ФВЧ) показаны на формулах 3 и 4 соответственно.

$$H(u, v) = e^{\frac{-D^2(u, v)}{2D_0^2}}, \quad (3)$$

$$H(u, v) = 1 - e^{\frac{-D^2(u, v)}{2D_0^2}}, \quad (4)$$

где  $D_0^2$  – дисперсия;  $D(u, v)$  – расстояние от центра фильтра до пикселя с координатами  $(u, v)$ .

Спектры ФНЧ и ФВЧ до перестановки квадрантов изображены на рисунке 2 слева и справа соответственно.

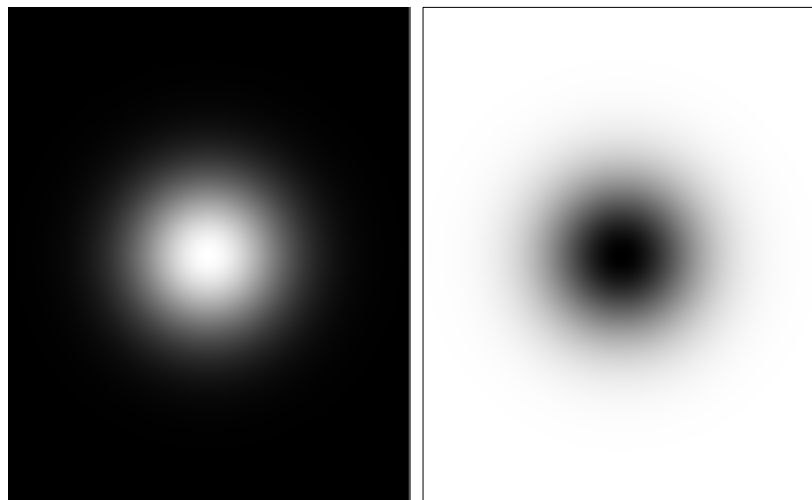


Рисунок 2 – Спектры ФНЧ (слева) и ФВЧ (справа)

Фильтрация ФНЧ и ФВЧ реализована функцией *gaussFilter*, принимающей изображение в формате CV\_32FC2 (В одном канале вещественная часть образа, в другом мнимая), дисперсию и флаг (*low\_pass* для ФНЧ и *high\_pass* для ФВЧ). На выходе этой функции получается изображение CV\_32FC2 с отфильтрованной вещественной и мнимой частью.

На рисунке 3 представлен результат работы функции *gaussFilter*.

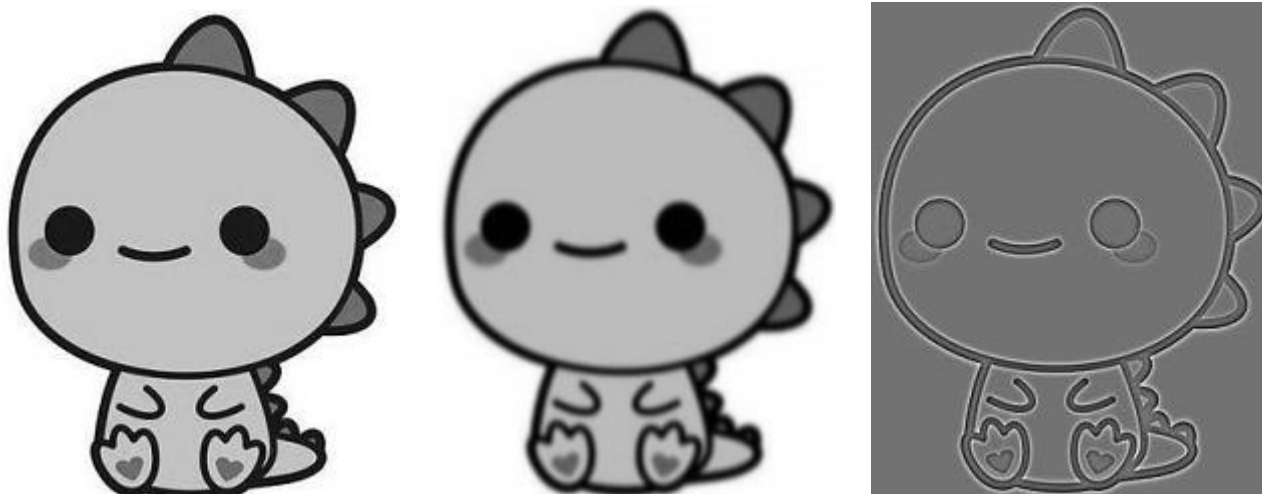


Рисунок 3 – Результат работы ФНЧ (в центре) и ФВЧ (справа)

### 3. Свертка изображения с ядром фильтра

Для свертки изображения с ядром фильтра используется функция *mulSpec*, принимающая 2 изображения в формате CV\_32FC2 и флаг типа bool (если он установлен, то выполнится корреляция вместо свертки). На выходе функции получается изображение типа CV\_32FC2.

Для преобразования ядра фильтра в изображение используется функция *kernelImg*, принимающая ядро фильтра в виде двумерного массива и размер исходного изображения. На выходе получается изображение типа CV\_32FC1, которое после прямого преобразования Фурье можно использовать для свертки.

Свертка с ядром фильтра Собеля представлена на рисунках 4 (по горизонтали) и 5 (по вертикали).

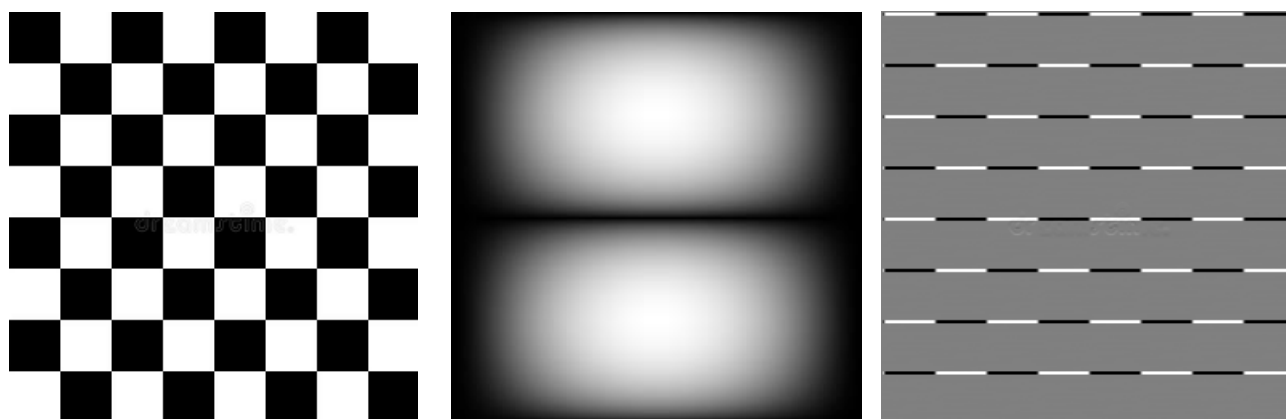


Рисунок 4 – Спектр ядра фильтра Собеля (горизонталь) и результат свертки

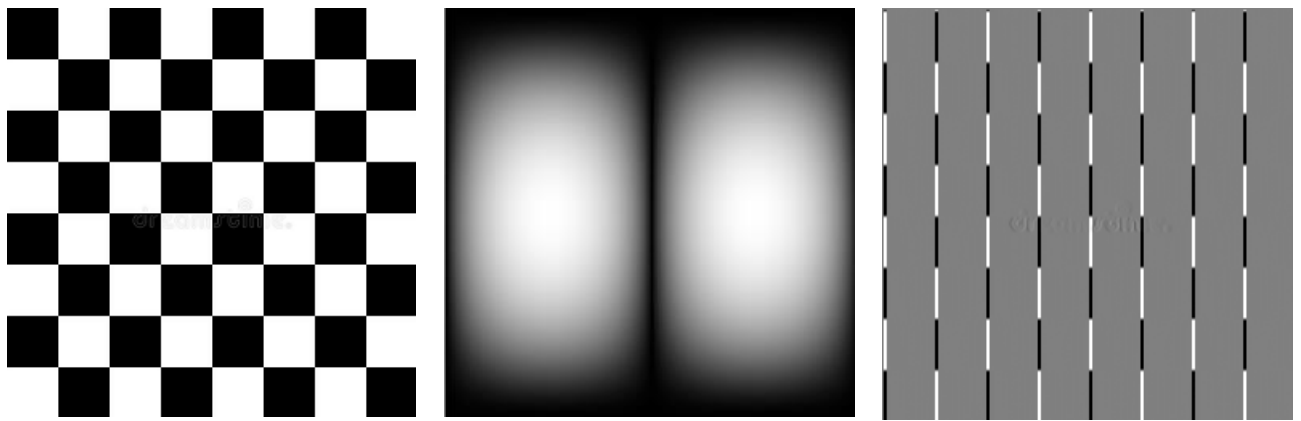


Рисунок 5 – Спектр ядра фильтра Собеля (вертикаль) и результат свертки

На рисунке 6 изображена свертка с ядром усредняющего фильтра.

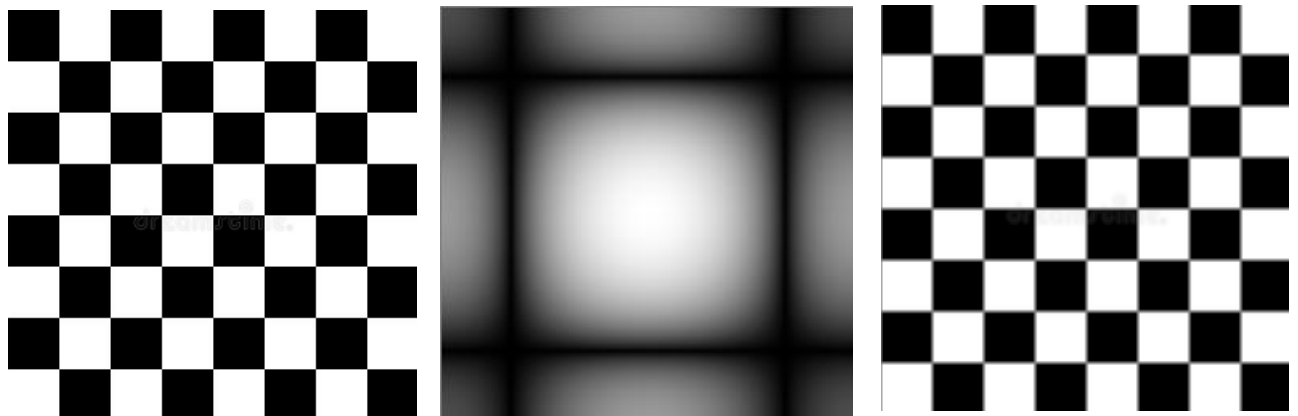


Рисунок 6 – Спектр ядра усредняющего фильтра и результат свертки

Свертка с ядром фильтра Лапласа представлена на рисунке 7.

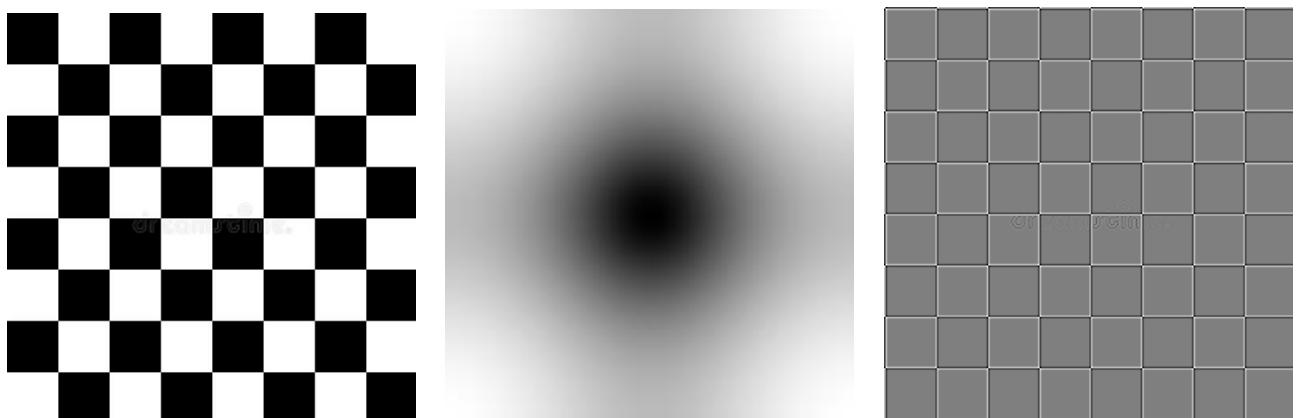


Рисунок 7 – Спектр ядра фильтра Лапласа и результат свертки

#### 4. Корреляция изображений

Корреляция изображений выполняется с помощью функции `mulSpec`, о которой было подробно рассказано в пункте 3. Отличие корреляции от свертки состоит в том, что знак перед мнимой частью одного изображения заменяется на противоположный.

При корреляции изображения должны быть одного размера, поэтому перед прямым преобразованием Фурье изображения приводятся к общему размеру с помощью функции `goToOptimalSize`.

После корреляции выполняется обратное преобразование Фурье. Полученное изображение подвергают пороговой фильтрации.

Результаты корреляции изображения с его частями представлены в таблице 1.

Таблица 1 – Результаты корреляции

Коррелируемые изображения	Итоговый спектр	После обратного преобразования и пороговой фильтрации
